



ПОВЫШЕНИЕ ОТНОШЕНИЯ СИГНАЛ/ШУМ НА ВЫХОДЕ НЕЛИНЕЙНОГО УСИЛИТЕЛЯ В РЕЖИМЕ СТОХАСТИЧЕСКОГО РЕЗОНАНСА

М.В. Давидович

Приведены результаты численного моделирования нелинейных бистабильных четырехполосников в режиме воздействия сигнала и сильного широкополосного шума. Показана возможность широкополосного усиления модулированных сигналов при собственном коэффициенте шума 1 – 2 дБ. Исследована возможность снижения коэффициента шума до величин менее 1 дБ в цепи из нескольких разветвлений с неидентичными четырехполосниками указанного типа в ее ветвях. Предложена и исследована блок-схема для выделения из шума квазигармонического сигнала в виде последовательности синусоидальных цугов с несущей частотой ω_0 . Особенностью схемы является выработка субгармонического сигнала с частотой $\omega_0/3$, пропорционального входному сигналу, а также нелинейное преобразование сигналов.

Введение

Со времени открытия стохастического резонанса (СР) [1] опубликовано значительное число работ (например, [2–25]) по его исследованию. В большинстве работ он исследуется с точки зрения возможности увеличения сигнала (как правило, гармонического) шумом в замкнутой динамической системе (ДС) с генератором сигнала и шума. СР обнаружен и исследован как в бистабильных системах, так и в системах с динамическим хаосом [13–15,20], моностабильных системах и в автогенераторах с жестким возбуждением [21]. Его предложено использовать как для усиления сигналов [10,12–16], так и для выделения сигнала из шума [7,22,25].

Наибольший интерес с точки зрения использования СР для техники СВЧ представляет исследование усиления сигнала шумом при их прохождении через бистабильный нелинейный четырехполосник (НЧ), являющийся усилителем в режиме СР, исследованию которого посвящены работы [22–25]. Результаты работ [22–24] свидетельствуют о возможности создания усилителя с полосой усиления модулированных сигналов порядка 20% и собственным коэффициентом шума (КШ) порядка 1–2 дБ, который может работать в режиме сильной интегральной шумовой помехи. Коэффициент усиления такого усилителя с одним нелинейным элементом может иметь значения порядка 10–30 дБ и более [22]. Актуальным для возможных технических применений СР является снижение собственного КШ усилителя в виде НЧ до величин существенно меньших 1 дБ при сохранении или улучшении остальных его параметров, чему и посвящена настоящая работа.

Целью работы является исследование прохождения сильно зашумленных квазигармонических и модулированных сигналов через бистабильный нелинейный четырехполюсник методом компьютерного моделирования и нахождение НЧ с пониженным собственным КШ, а также с возможностью выделения сигнала из шума.

1. Метод расчета и его обоснование

В работе численно исследуется НЧ, включающий нелинейный элемент с ВАХ N -типа, шунтирующую его емкость C и последовательную индуктивность L , а также НЧ в виде идеального триггера Шмитта (ТШ), описываемого функциональным уравнением

$$u(t) = U_T \operatorname{sgn}[u(t) + S(t) + N(t)].$$

В первом случае необходимо решать стохастическое дифференциальное уравнение

$$CL \frac{\partial^2 U}{\partial t^2} + [R_c C + L \frac{\partial J(U)}{\partial U}] \frac{\partial U}{\partial t} + R_c J(U) + U = S(t) + N_i(i) + e, \quad (1)$$

где $S(t)$ – ЧМ или АМ сигнал, действующий за время наблюдения T ; $N_i(i)$ – зависящий от некоторого элементарного события i случайный процесс, характеризующий аддитивный шум; e – постоянное напряжение смещения; $R_c = R + R_0$ – полное сопротивление контура цепи. Уравнение (1) описывает, например, работу переключаемого шумом туннельного диода на СВЧ, включенного в резистивный контур (рис. 1, а), где C – емкость р–п-перехода (включая емкость корпуса и монтажа), а L – индуктивность крепления и корпуса. Напряжение генератора представляет собой полезный сигнал и аддитивный широкополосный шум: $U_g = S(t) + N_i(i)$. СВЧ-схема включения диода может быть как проходной (представляя собой линию передачи в одномодовом режиме с двумя широкополосными согласующими трансформаторами с выходным и входным импедансами R_0 и R , между которыми включен диод), так и отражательной [26]. Трансформаторы (например, чебышевские) должны трансформировать волновые сопротивления подводящих линий к импедансам туннельных диодов вблизи рабочей точки в полосе частот порядка нескольких октав.

Широкополосный шум обычно моделируют δ -коррелированным белым шумом $\xi(t)$ амплитуды D (со спектральной интенсивностью $D^2/2$) [22,27,28]

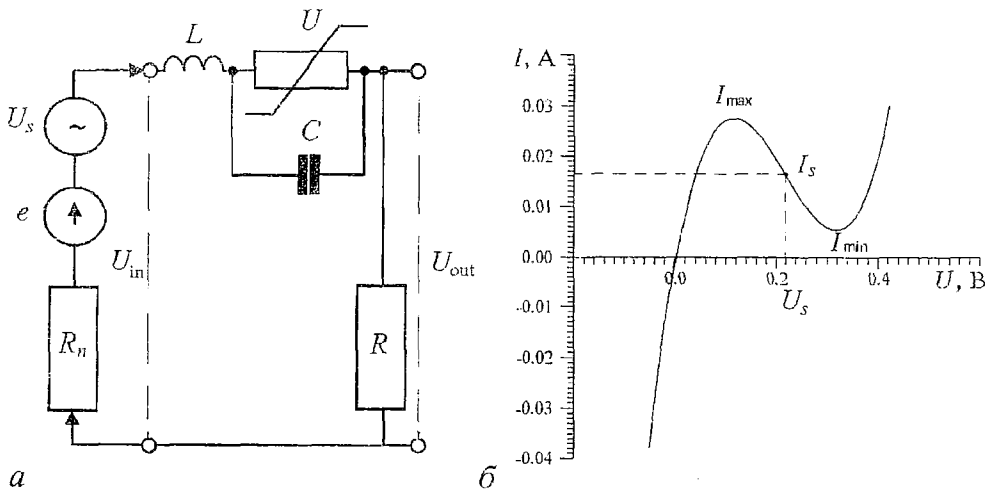


Рис. 1. Нелинейный элемент, емкость C и индуктивность L , включенные в четырехполюсник, моделирующий туннельный диод (а) и ВАХ нелинейного элемента (б) при $R_1=6$ Ом. $U_0=0.1$ В, $U_s=0.21$ В, $I_s=0.01645$ А, $e=0.35805$ В

$$N_r(i) = Dn_r(i), \quad u_r(i) = \xi(t), \quad \langle \xi(t)\xi(t+r) \rangle = \delta(r). \quad (2)$$

Поскольку численное моделирование предполагает дискретизацию сигнала, уравнение (1) необходимо заменить его конечно-разностным аналогом, при этом белый шум следует представить через винеровский процесс $n(t)=dW(t)/dt$ с нулевым средним и нормальным распределением, дискретные приращения которого имеют вид [27,28]

$$\Delta W_n = W(t_{n+1}) - W(t_n) \approx (\Delta t)^{1/2} \xi_n, \quad (3)$$

где ξ_n – центрированные псевдослучайные числа с нормальным законом распределения и единичной дисперсией, вычисляемые в нашем случае с использованием стандартной процедуры GAZDEV; $\Delta t=t_{n+1}-t_n$. Для корректного моделирования пороговых устройств шумовой источник должен иметь конечное время корреляции. В нашем случае ступенчатая дискретизация с конечным периодом Δt приводит к тому, что реализация шумового процесса $n_r(i)$ в виде приращений винеровского процесса имеет вид

$$n(t, \Delta t) = (\Delta t)^{1/2} \sum_{n=1}^M \xi_n u_n(t), \quad M = T/\Delta t,$$

где введены ортогональные импульсные функции: $u_n(t)=1$, если $t_{n-1}<t<t_n$, иначе $u_n(t)=0$. В силу стационарности приращений [28] корреляционная функция и время корреляции легко вычисляются и соответственно равны

$$C(\tau, \Delta t) = \begin{cases} \Delta t(1-|\tau|/\Delta t), & |\tau| \leq \Delta t, \\ 0, & |\tau| > \Delta t, \end{cases}$$

$$\tau_{\text{кorr}} = [1/C(0, \Delta t)] \int_0^{\infty} C(\tau, \Delta t) d\tau = \Delta t/2.$$

Указанной корреляционной функции соответствует спектральная интенсивность шума

$$N(\omega, \Delta t) = D^2[1 - \cos(\omega\Delta t)]/(\pi\omega^2),$$

которая численно подтверждена при моделировании путем усреднения спектров реализаций случайного процесса (в качестве параметра усреднения используется параметр процедуры GAZDEV). При $\omega \ll 2\pi/\Delta t$ спектральная интенсивность шума постоянна и равна $D^2\Delta t^2/(2\pi)$. Пропорциональность энергии процесса $D^2C(0, \Delta t)$ периоду дискретизации Δt позволяет исследовать сходимость решений при шумовом источнике. Иначе (для постоянной энергии) при уменьшении Δt перераспределение энергии по более высоким частотам приводит к увеличению частоты переключений ДС. Рассмотренный выше процесс с конечным временем корреляции имеет наиболее простую реализацию и в пределе $\Delta t \rightarrow 0$ переходит в белый шум, при этом в широких пределах обеспечивается независимость частоты переключений ДС от Δt . Использование процесса Орнштейна – Улембека [28], имеющего экспоненциально убывающую функцию корреляции, привело бы к увеличению времени моделирования.

Обычно стохастические дифференциальные уравнения в форме Ито первого порядка интегрируются методом Рунге – Кутты [20,22,28,29], причем необходимо использовать либо постоянный шаг интегрирования (при этом возникает дополнительная проблема выбора величины оптимального шага) либо модифицировать схемы интегрирования для обеспечения сходимости [27]. В данном случае метод Рунге – Кутты неудобен, так как задачей работы является проведение исследований при произвольных L и C , в том числе и при $L, C \rightarrow 0$, когда стохастическое дифференциальное уравнение вырождается в алгебраическое и

метод неприменим. Другой исследуемый предельный случай, совпадения частоты сигнала с резонансной частотой контура, интересен тем, что в малосигнальном режиме коэффициент усиления усилителя на туннельном диоде обращается в нуль [26]. Необходимость выполнения произвольных соотношений между разными характеристическими временами задачи (такими как длительность периодограммы T , период несущей частоты, период модуляции, период собственных колебаний, время релаксации, период дискретизации) требует непрерывного подбора шага интегрирования в методе Рунге – Кутты, что может привести к существенному увеличению времени счета. Поэтому здесь для решения (1) неявный метод [23] был модифицирован путем замены производных конечными разностями. Производные вычисляются как левые разности:

$$U'_n = (U_n - U_{n-1})/\Delta t, \quad U''_n = (U'_n - U'_{n-1})/\Delta t,$$

где $t_0=0$ соответствует $U'_0=0, U''_0=0$. Затем по формулам Кардано определяется U_{n+1} . Кубическое уравнение соответствует ВАХ (использована типичная ВАХ для туннельного диода рис. 1, б [29])

$$I(U) = I_s + (U - U_s)^3 / (3U_0^2 R_1) - (U - U_s) / R_1. \quad (4)$$

Здесь R_1 и U_0 характеризуют диод с ВАХ N -типа; U_s, I_s – параметры рабочей точки, удовлетворяющие уравнению (4), то есть $I_s = U_s^3 / (3U_0^2 R_1) - U_s / R_1$. В частном случае $L=0, U_s=I_s=0, R_1=1/2, U_0=(2/3)^{1/2}$ уравнение (1) с нелинейным элементом, описываемым (4), сводится к уравнению передемпфированного осциллятора. При $L=C=0$ метод является точным (с точностью до дискретизации сигнала $S(t)$). Для уменьшения погрешности вычисления производных, которые входят в решение неявным образом, использовался метод интегрирования с уравниванием, а именно: после вычисления U_{n+1} значения производных вычисляются для точки $n+1$, после чего их значения усредняются по точкам n и $n+1$, а затем U_{n+1} определяется вновь, и так – до стабилизации результатов. Стабилизация наступала на третьем шаге, причем погрешность с уравниванием такая же, как без уравнивания при удвоении точек дискретизации. Метод Эйлера с уравниванием дает для обыкновенных дифференциальных уравнений погрешность порядка $(\Delta t)^3$ на каждом шаге [30], что немного хуже, чем в методах Рунге – Кутты или Штеммера. Предлагаемый метод обеспечивает существенно лучшую точность (численное исследование дает сходимость порядка $(\Delta t)^5$).

В работе [23] найдены условия, когда нелинейный резистивный контур с нелинейным элементом, описываемым уравнением (1) при $L=C=0$ и $N(t) \equiv S(t) \equiv 0$ имеет стабильные состояния, и найдены стационарные точки на ВАХ. Здесь рассмотрено симметричное расположение двух устойчивых точек относительно неустойчивой стационарной точки U_s , когда

$$U_{c_i} = U_s \pm U_0 [3(1 - R_1/R_c)]^{1/2}, \quad i = 1, 3, \quad U_{c_2} = U_s, \quad (5)$$

причем $R_1/R_c = 2/3$. В этом случае стабильным состояниям соответствуют экстремальные точки на ВАХ, а неустойчивому состоянию – точка перегиба. Величина $2U_0 = U_{\min} - U_{\max}$ является порогом переключения.

Все расчеты приведены для 40 точек дискретизации периода сигнала и времени наблюдения, на котором укладывается 350 периодов сигнала (14000 точек на периодограмму), что определяет погрешность не более 1% в расчетах спектров при отсутствии шума в правой части (1). Частота дискретизации превышала частоту сигнала в 40 раз, что позволяет считать шум белым [31]. При решении уравнения (1) использована стандартная методика [27–29] усреднения по ансамблям реализаций, при этом полученные спектры усреднены по 60–500 реализациям. Усреднения производились до стабилизации третьей значащей цифры в отношении сигнал/шум, SNR (signal-to-noise ratio), при этом с

увеличением D (уменьшением SNR_{in}) число усреднений необходимо увеличивать. Определение SNR можно выполнять несколькими способами [22]. В данной работе на усредненном спектре численно находилась площадь спектральной линии сигнала и делилась на площадь шумового основания, определенную по нескольким точкам вблизи спектральной линии. Рассмотренный метод в сравнении с методом Рунге – Кутты имеет большее быстродействие, поскольку использует компактные аналитические формулы. Моделирование ТШ с состояниями $\pm U_T$ основано на функциональном уравнении.

Вычисление спектров для кусочно-постоянных аппроксимаций сигнала производилось путем суммирования точных спектров

$$F(V, \omega) = 4V \exp[-j\omega(t_1+t_2)/2] \sin(\omega(t_2-t_1)/2) / \omega \quad (6)$$

составляющих его импульсных прямоугольных ступенчатых функций, где t_1 – время начала импульса, t_2 – время его окончания, V – его амплитуда. Это позволяет избежать ряда трудностей, которые возникают при использовании быстрого преобразования Фурье. Погрешности преобразования известны как эффект утечки и алиасинг. Последний приводит к искусственному завышению SNR_{out} на выходе по сравнению с входным SNR_{in} за счет перераспределения высокочастотной части спектра в низкочастотную область (шум на выходе цветной). Произведено исследование спектра использованного случайного процесса, который является непериодическим и практически равномерным почти до частоты Найквиста, имеет периодически расположенные нули и убывает при высоких частотах.

Для численного обоснования метода решения (1) рассмотрим частный случай $L=0$, $U_S=3^{1/2}U_0=1.73205$ В, для которого $I_S=0$, то есть ВАХ не изменяет форму и смещается по оси I так, что располагается симметрично относительно оси U . В этом случае стохастическое дифференциальное уравнение для $u(t)=U(t)-U_S$ при $S(t)\equiv 0$ и $D\rightarrow 0$ приобретает вид

$$du(t)/dt = u(t)(R_c/R_1 - 1)/\tau_R + N(t)/\tau_R \quad (7)$$

и имеет аналитическое решение (здесь $\tau_R=R_c C$ – время релаксации)

$$|u(\omega)| = |N(\omega)| / [(\omega\tau_R)^2 + (1-R_c/R_1)^2]^{1/2}. \quad (8)$$

На рис. 2, а представлены результаты, показывающие сходимость величины $|u(\omega)|/|N(\omega)|$ к точному значению 1 при $R_c\rightarrow 0$ и $\tau_R=R_c C=1.25\cdot 10^{-4}$. Спектр входного шума (кривая 1) и сигнала на нелинейном элементе (кривая 2) приведены для $R_1=6$, $D=0.01$, $R_c=0.01$, $C=1.25\cdot 10^{-2}$. Кривая 2 с графической точностью совпадает с

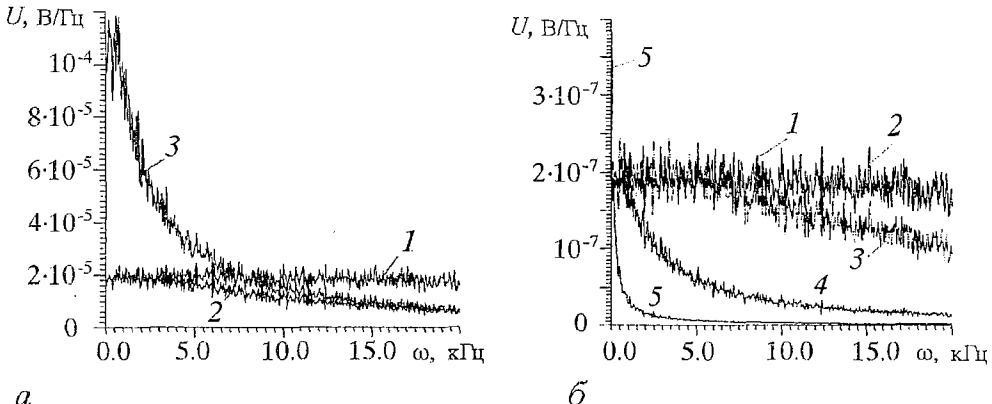


рис. 2. Спектры входного сигнала (кривая 1) и напряжений на нелинейном элементе (кривые 2–5): а – в окрестности точки перегиба ВАХ при $D=0.01$ для $R_c=0.01$, $C=1.25\cdot 10^{-2}$ (кривая 2), $R_c=5$, $C=1.25\cdot 10^{-2}$ (кривая 3); б – в окрестности максимума на ВАХ при $D=0.0001$, $R_c=9$ для $C=0$ (кривая 2), $C=5\cdot 10^{-6}$ (кривая 3), $C=5\cdot 10^{-5}$ (кривая 4), $C=2\cdot 10^{-3}$ (кривая 5)

соответствующими результатами для $R_c=0.001$, $C=1.25 \cdot 10^{-1}$. Кривая 3 соответствует случаю $R_c=5$, $C=1.25 \cdot 10^{-2}$. Усредненный спектр точно описывается формулой (8), которая проверялась для различных значений параметров, отличающихся на несколько порядков. При этом алгоритм демонстрирует высокую точность. Единственным ограничением является случай $R_c=0$. Для $R_c=R_1$ соотношение (8) выполняется для значений C в диапазоне $1 - 10^{-8}$ Ф. При меньших C и величинах $D>0$ сказывается нелинейность контура (приближенность соотношения (8)). Если $C=0$, получается равномерный спектр шума. При $R_c<R_1$ для $C(R_1-R_c)<10^{-2}$ формула (8) выполняется во всем частотном диапазоне. При $R_c>R_1$ рабочая точка неустойчивая, поэтому воздействие слабого шума приводит к хаотическим колебаниям в окрестности одной из экстремальных точек ВАХ. Тогда вместо (8) решение дается формулой

$$|u(\omega)| = |N(\omega)| / [(\omega\tau_R)^2 + 1]^{1/2}, \quad (9)$$

получаемой линеаризацией (1) для этого случая. Формула (9) при малых шумах численно подтверждена для всех диапазонов изменения параметров. На рис. 2,б представлены соответствующие результаты. Кривые 1 и 2 совпадают и представляют спектры воздействующего шума и напряжения на нелинейном элементе для резистивного НЧ, возбуждаемого в точке максимума ВАХ слабым шумом. Кривые 3-5 соответствуют этому же НЧ с включением емкостей разной величины.

При наличии емкости ДС может демонстрировать релаксационные колебания, а емкость и индуктивность позволяют получить генерацию. В частности, рис. 3 иллюстрирует численный эксперимент, показывающий, что в

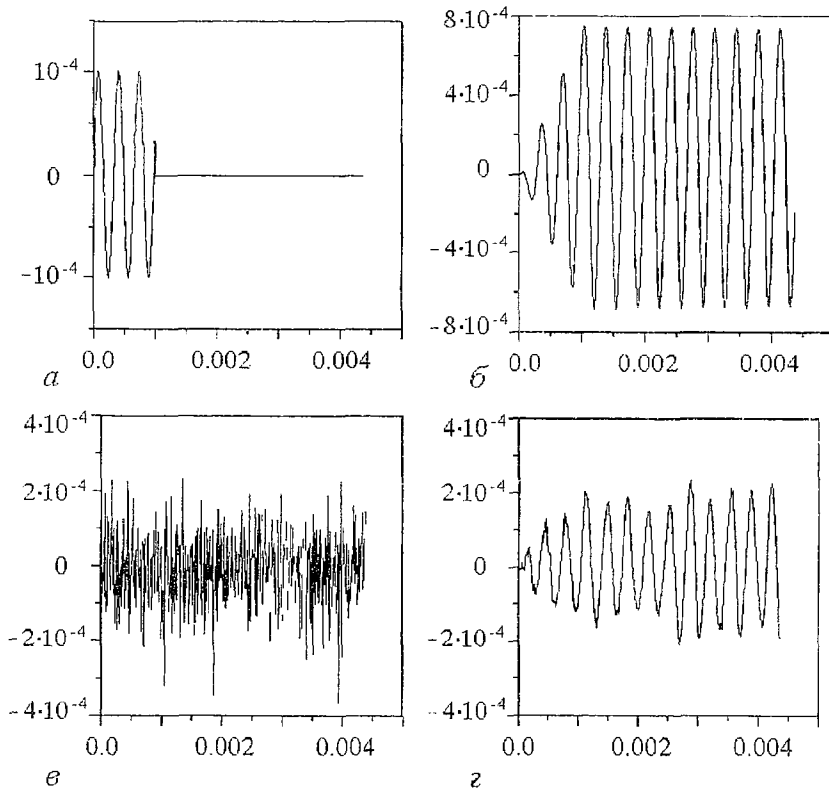


Рис. 3. Эпюры входных и выходных напряжений (В) в зависимости от времени (с): синусоидальный (а), шумовой (б) сигналы с амплитудой 0.0001 В и соответствующие им выходные напряжения (б, з) для неустойчивой точки на ВАХ при $R_1=0.5$, $R_0=0.1$, $R=0.15$, $L=1.44 \cdot 10^{-5}$, $C=0.983 \cdot 10^{-4}$

окрестности неустойчивой рабочей точки имеется предельный цикл. Под действием слабого кратковременного синусоидального сигнала частоты ω_0 (рис. 3, а), приближенно удовлетворяющей собственной частоте контура при малом сигнале $\omega_c = [1/(LC) - (R_1 - R - R_0)^2 / (4L^2)]^{1/2}$, происходит нарастание колебаний (рис. 3, б), то есть система ведет себя как генератор с жестким возбуждением. Ограничение амплитуды колебаний обусловлено уменьшением отрицательной дифференциальной проводимости при отклонении от рабочей точки. Аналогично рис. 3, в, г демонстрируют нарастание колебаний под действием слабого шума. Шум действует весь период наблюдения и «выбивает» ДС из устойчивого предельного цикла. Численное исследование сходимости в этих случаях показало хорошую точность алгоритма. Производилось тестирование алгоритма и для резистивного контура на нескольких примерах. Тестирования показали практическое отсутствие собственных вычислительных шумов (ДС не выходит из неустойчивой точки в отсутствие сигнала). Отметим, что выходной усредненный спектр ТШ при воздействии шума $N(t_n) = D\xi_n$, обеспечивающего среднюю частоту переключений ω_s , описывается численно подтверждаемой формулой

$$|\overline{Y(\omega)}| \approx \pi D / (2\omega_s) \{ (\Delta t / T) [(\omega / \omega_s)^2 + 1] \}^{-1/2}. \quad (10)$$

Таким образом, предложенный алгоритм решения стохастического дифференциального уравнения обладает хорошей сходимостью и дает достоверные результаты.

2. Результаты численного моделирования

Описанные НЧ далее будут использоваться для улучшения выходного SNR составленного из них четырехполосника. В качестве такого элемента может быть взят любой НЧ, представляющий собой усилитель, работающий в режиме СР, например, ТШ [23]. Все приведенные ниже численные результаты получены для $R_1 = 6$ Ом, $R_0 = 1$ Ом, $R = 8$ Ом, $U_0 = 0.1$ В, $U_s = 0.21$ В, $I_s = 0.01645$ А, $e = 0.35805$ В. При этом значения токов и напряжений в точках минимума и максимума ВАХ соответственно равны: $I_{\min} = 0.005389$ А, $U_{\min} = 0.31$ В и $I_{\max} = 0.027561$ А, $U_{\max} = 0.11$ В. Спектры входного и выходного напряжения вычислялись согласно рис. 1, а. Исходные параметры R , R_0 , e подобраны так, что рабочая точка U_s , I_s соответствует центру падающего участка ВАХ.

Сильный шум приводит к типичной картине переключений между устойчивыми состояниями ДС, имеющей вид случайного телеграфного сигнала для ТШ [23] и аналогичного сигнала с зашумленными вершинами для туннельного диода. Большую часть времени ДС проводит в устойчивых состояниях, причем средние времена пребывания в них практически совпадают. Усиление для туннельного диода в режиме переключений для рассмотренного случая примерно в 3 раза превышает соответствующее усиление в линейном режиме и имеет порядок 10–20 дБ. Усиление для ТШ не превышает 3 дБ. Нелинейные и частотные искажения модулированных сигналов были исследованы в данной работе путем сравнения входных и выходных спектров по методике, изложенной в [16]. Результаты исследований можно сформулировать следующим образом. Коэффициент нелинейных искажений квазигармонических сигналов мал (порядка 1%) для малых амплитуд сигналов ($S_0 / U_T < 1$) в области СР и при больших интенсивностях шума, причем он уменьшается с увеличением D . Для ТШ при амплитудах сигнала порядка U_T коэффициент нелинейных искажений достигает величины порядка 20% и более (воспользовавшись теоремой Парсеваля для $S_0 = U_T$ без шума можно получить величину $1 - 8/\pi^2$, определяемую как отношение мощности на нечетных гармониках к полной мощности выходного сигнала). Частотные искажения при СР проявляются для АМ и ЧМ сигналов в изменении

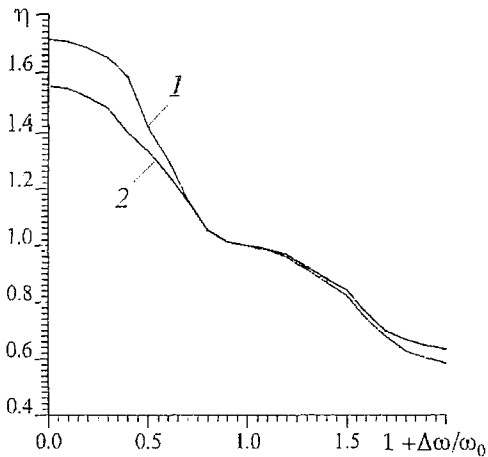


Рис. 4. Зависимость коэффициента частотных искажений η триггера от относительной расстройки частоты: 1 – амплитудная модуляция; 2 – частотная модуляция

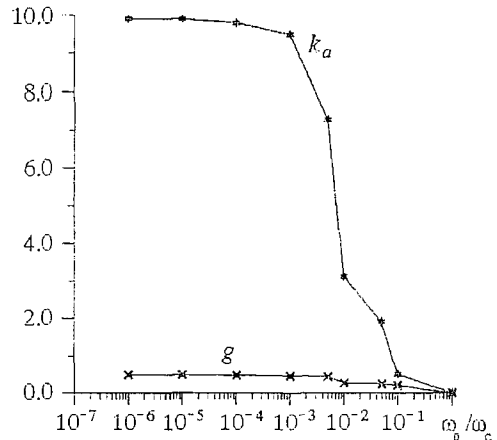


Рис. 5. Коэффициент усиления k_a и отношение $g=SNR_{out}/SNR_{in}$ в зависимости от ω_0/ω_c . — отношения несущей частоты сигнала к собственной частоте контура

усиления в полосе сигнала при удалении от несущей частоты. Эти искажения могут быть описаны определяющей усиление величиной

$$\eta(\Delta\omega) = (S(\Delta\omega)^2/S_0^2)_{out} / (S(\Delta\omega)^2/S_0^2)_{in},$$

где $S(\Delta\omega)$ – амплитуда боковой спектральной линии при расстройке $\Delta\omega$ от несущей, S_0 – амплитуда несущей (соответственно на выходе и входе). Результаты расчетов рис. 4 для ТШ показывают, что при малых сигналах в режиме СР в полосе $|\Delta\omega/\omega_0| < 10\%$ амплитудно-частотная характеристика η изменяется слабо (не более 5%), причем искажения для ЧМ*49 сигналов меньше, чем для АМ сигналов. С уменьшением шума (при выходе из СР), а также при увеличении сигнала изменение η с ростом расстройки более сильное. Результаты для туннельного диода имеют аналогичный вид.

Проведенные исследования показывают, что коэффициент усиления сигнала шумом k_a и величина $g=SNR_{out}/SNR_{in}$ ухудшается в области высоких частот при приближении рабочей частоты к собственной частоте НЧ, что демонстрирует рис. 5. Аналогично такое же ухудшение усиления происходит с увеличением времени релаксации системы.

При малых шумах SNR_{out} триггера нарастает от нуля при некоторой пороговой амплитуде шума, а SNR_{out} туннельного диода убывает от 1 до минимума и начинает возрастать. Зависимость от амплитуды шума величины $g=SNR_{out}/SNR_{in}$, обратной собственному КШ, приведена на рис. 6 для ТШ и туннельного диода (кривые 1 и 4, соответственно). Собственный КШ четырехполосника в режиме СР при этом составляет величину порядка 1.5–2 дБ и слабо изменяется с дальнейшим ростом шума. Для снижения КШ в данной работе предлагается схема рис. 7, а из n разветвлений, содержащая n -канальный делитель и сумматор сигнала и n НЧ в ее ветвях. НЧ выбираются несколько неидентичными, что при численном моделировании осуществлено для туннельного диода разбросом значений напряжений смещения e_i ($i=1,2,\dots,n$), приводящим к разбросу рабочих точек на падающем участке ВАХ, а для ТШ – разбросом величин U_T . Входной сигнал делится на n одинаковых сигналов, каждый из которых усиливается своим НЧ. Так как моменты переключений неидентичных НЧ случайны, но коррелированы с сигналом, при суммировании сигналов с их выходов происходит улучшение SNR на выходе схемы. Результаты для трех таких НЧ в виде ТШ представлены кривой 2

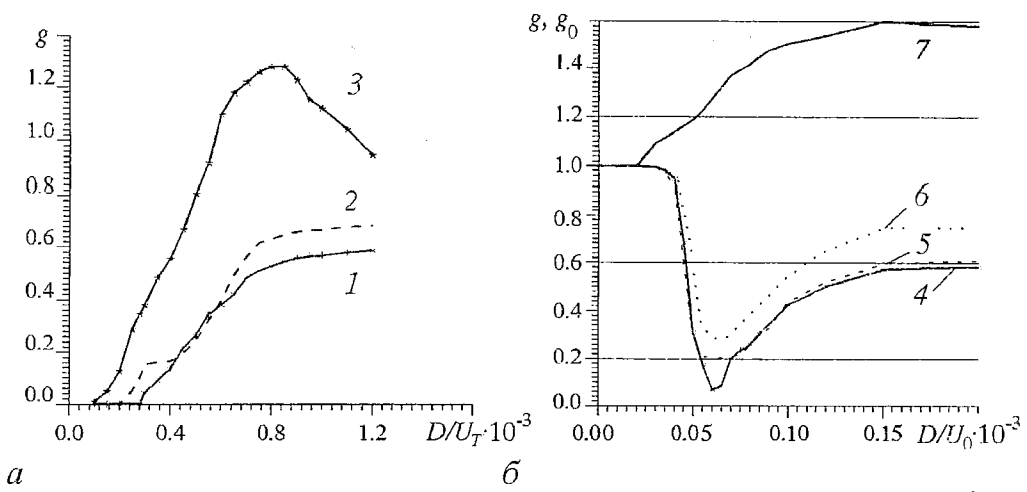


Рис. 6. Отношение $g=SNR_{out}/SNR_{in}$ для триггера (а) и туннельного диода (б) в зависимости от нормированной амплитуды шума: 1 – один триггер с $U_T=1$ и амплитудой сигнала 0.1; 2 – три неидентичных нелинейных элементов в виде триггеров с разбросами порогов срабатывания 0.8, 1 и 1.2; 3 – один триггер с $U_T=1$ и амплитудой сигнала 0.1, дополнительно возбуждаемый субгармоникой с амплитудой сигнала 0.8; 4 – зависимости величин g и g_0 без воздействия субгармонической составляющей; 5 – величина g при амплитуде субгармоники 0.05 и амплитуде сигнала 0.004

рис. 6, а. Пять НЧ в виде туннельных диодов соответствует кривая б на рис. 6, б. Кривая 5 рис. 6, б дает значения величины $g_0=SNR_{nc}/SNR_{in}$, где SNR_{nc} соответствует значению на нелинейном элементе и несколько лучше, чем на выходе. Произведена оптимизация выходного КШ по максимальному отклонению порога срабатывания ТШ от величины $2U_T$, давшее оптимальное отклонение в 25%.

Таким образом, использование n неидентичных нелинейных элементов позволяет снизить КШ схемы до значений, существенно меньших 1 дБ (в зависимости от их числа). Кроме снижения собственного КШ предложенная схема позволяет в n раз увеличить мощность сигнала, а также в n раз сократить время наблюдения (число усреднений).

3. Возможные схемы выделения сигнала

Другой исследованный в работе способ снижения КШ заключается в дополнительном воздействии на нелинейный элемент субгармоники $\omega_0/3$ несущей частоты сигнала ω_0 или сжатого во времени в 3 раза сигнала. При амплитуде субгармоники порядка амплитуды сигнала происходит дополнительная

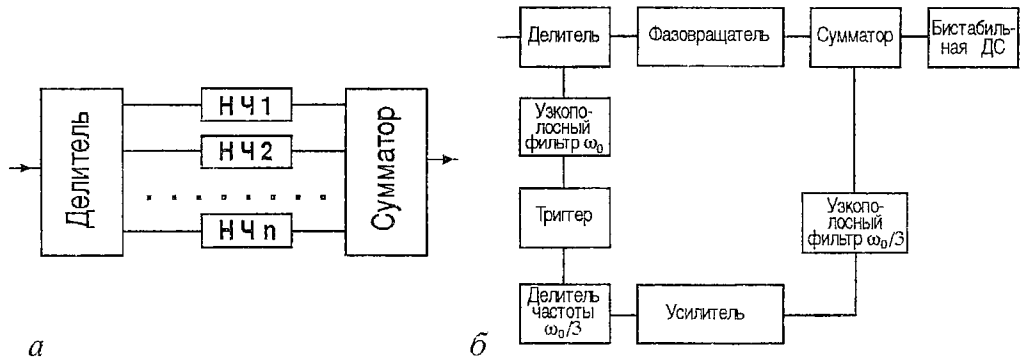


Рис. 7. Схемы для увеличения выходного SNR: а – с n разветвлениями для снижения КШ; б – пороговая схема обнаружения квазигармонического сигнала

синхронизация моментов переключений ДС из одного состояния в другое, сопровождаемая уменьшением собственного КШ четырехполосника. При амплитуде, сравнимой с пороговым параметром ($2U_T$ или $2U_0$) такая синхронизация приводит к выделению из шума сигнала на частоте несущей (кривые 3 и 7 на рис. 6). Соответствующий КШ в определенном диапазоне амплитуд D становится отрицательным. Воздействие субгармонической составляющей частоты $\omega_0/3$ (или напряжения $S(t/3)+N(t/3)$) с большой амплитудой на НЧ ведет к сильной синхронизации последовательности переключений, которая становится почти периодической и дает сильное узкополосное выделение сигнала частоты ω_0 из шума, сопровождаемое значительным подавлением боковых частот (при наличии модуляции) пропорционально их расстройке и амплитуде накачки. Амплитуда субгармоники, существенно меньшая порога переключения $2U$, обеспечивает усиление сигнала, в основном, за счет энергии шума, синхронизируя переключения ДС. При амплитуде субгармоники порядка U_0 и более усиление, в основном, происходит за счет ее нелинейного преобразования.

Блок-схема для выработки сигнала частоты $\omega_0/3$ может, например, состоять из делителя сигнала, фильтра гармоника ω_0 , ТШ, делителя частоты на 3, усилителя, фильтра субгармоники $\omega_0/3$ и сумматора, на котором воздействующий на вход схемы сигнал $S(t)+N(t)$, прошедший с другого канала делителя через фазовращатель, суммируется с ее выходным сигналом частоты $\omega_0/3$ и далее подается на вход ДС (рис. 7, б). Для работы схемы порог срабатывания ТШ необходимо подбирать так, чтобы в моменты отсутствия гармонического сигнала частота переключений была минимальна, а при наличии сигнала равнялась $\omega_0/3$. Тем самым необходимо осуществлять самонастройку пороговой схемы по уровню интенсивности входных шумов. Отметим, что такую же настройку необходимо осуществлять и для оптимального усилителя на эффекте СР [22]. Рассмотренная пороговая схема обнаружения представляет собой нелинейный преобразователь (фильтр). Мгновенный спектр на его выходе содержит усиленную составляющую ω_0 только в случае, когда она присутствует на входе. На выходе этой схемы целесообразно поставить обычный линейный узкополосный фильтр. Выделение квазигармонического сигнала из шума является следствием эффектов синхронизации и нелинейного преобразования субгармоники. Соответствующие спектры для воздействия субгармоники приведены на рис. 8, из которых видно выделение сигнала на частоте 1 кГц. Численно исследована также разветвленная схема с цифровой линией задержки, цифровым полосно-пропускающим фильтром с полосой 1% на частоте $\omega_0/3$, сумматором и ТШ. Выходной сигнал линии задержки определяется через входной по алгоритму $Y(n)=X(n/3+1)$, фильтруется,

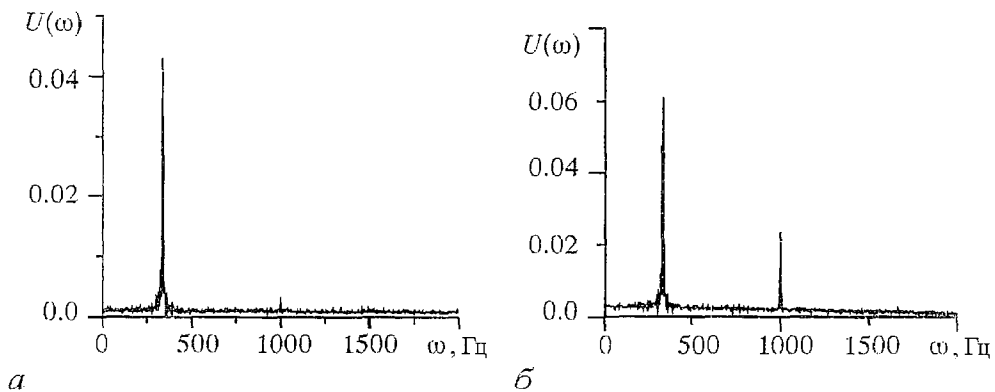


Рис. 8. Входной (а) и выходной (б) спектры при выделении квазигармонического сигнала из шума при амплитуде субгармоники равной трети порога переключения; частота переключений шумом в отсутствие сигнала равна частоте сигнала

суммируется с входным сигналом и подается на вход ТШ. Получено улучшение выходного SNR по сравнению с входным более чем в три раза.

Рассмотренный эффект выделения сигнала очень узкополосный и состоит в нелинейном преобразовании спектра. Максимальное SNR при амплитуде субгармоники порядка порога срабатывания наблюдается при условии СР. Эффект привлекателен для выделения квазигармонического сигнала из шума. Такой сигнал с импульсно-кодовой модуляцией может представлять собой временные интервалы, содержащие цуги из нескольких сотен периодов синусоидального сигнала, разделенные интервалами без сигнала.

Заключение

Предложена неявная численная схема с уравниванием для стохастического дифференциального уравнения с кубической нелинейностью относительно искомой функции, основанная на решении кубического алгебраического уравнения. Численно исследована ее сходимости и достоверность результатов для аналитических решений линеаризованных задач. На основе предложенного алгоритма исследован стохастический резонанс в нелинейном четырехполоснике, содержащем нелинейный элемент с ВАХ N -типа, параллельную ему емкость и последовательную индуктивность. Исследованы также динамические системы с триггером Шмитта. Показана возможность усиления АМ и ЧМ сигналов в диапазоне частот до 20% при собственном коэффициенте шума системы порядка 1.5–2 дБ. Для туннельного диода максимальное усиление, соответствующее динамике переключений рабочей точки между двумя экстремальными точками на ВАХ, в несколько раз больше, чем в отсутствие шума.

Для снижения собственного коэффициента шума четырехполосников предложена схема включения нескольких n неидентичных бистабильных нелинейных элементов в разветвления n -канального делителя с последующим суммированием сигналов, имеющая коэффициент шума менее 1 дБ.

Результаты показывают возможность создания широкополосного усилителя на эффекте стохастического резонанса, работающего при интегральной интенсивности шума, существенно превышающей мощность сигнала. Такой усилитель должен быть самоподстраивающейся системой с изменением пороговой величины в зависимости от мощности входного шума или с введением внутреннего шума. При малых уровнях сигнала по сравнению с пороговыми величинами U_0 или U_T гармонические искажения в спектрах небольшие, при этом коэффициент усиления возрастает с уменьшением амплитуды сигнала. Гармонические искажения увеличиваются по мере удаления боковой гармоники от центральной частоты ω_0 и при приближении амплитуды сигнала к порогу срабатывания. Искажения ЧМ сигналов с малой глубиной модуляции меньше, чем соответствующих АМ сигналов. Показано ухудшение характеристик усилителя на туннельном диоде при сближении несущей и резонансной частот.

Дополнительное воздействие на входе динамической системы субгармоники частоты $\omega_0/3$ приводит к узкополосному эффекту увеличения усиления и улучшения отношения сигнал/шум на несущей частоте. Этот эффект является следствием синхронизации и нелинейного преобразования сигнала; он пропорционален амплитуде субгармоники и приводит к подавлению боковых частот, которое растет с их расстройкой. При выполнении условия стохастического резонанса в динамической системе собственный коэффициент шума минимален. Предложена пороговая блок-схема для обнаружения квазигармонического сигнала. Для возможных радиотехнических применений, по-видимому, целесообразно использовать усиление и выделение квазигармонического сигнала с импульсно-кодовой модуляцией в бистабильной нелинейной цепи. Отметим, что основные результаты работы (см. рис. 6) получены для случая

$L=C=0$, соответствующего решению алгебраических уравнений. Они имеют идентичный характер для туннельного диода и триггера Шмитта.

Автор выражает благодарность профессору В.С. Анищенко за постановку проблемы, исследованной в данной работе.

Библиографический список

1. *Benzi R., Sutera A., Vulpiani A.* The mechanism of stochastic resonance // *J. Phys.* 1981. Vol. 14A. P. 453.
2. *Nicolis C., Nicolis G.* Stochastic aspects of climatic transitions – additive fluctuations // *Tellus.* 1981. Vol. 33. P. 225.
3. *Nicolis C.* Stochastic aspects of climatic transitions – response to a periodic forcing // *Tellus.* 1982. Vol. 34. P. 1.
4. *Fauve S., Heslot F.* Stochastic resonance in a bistable system // *Phys. Lett. A.* 1983. Vol. 97. P. 5.
5. *McNamara B., Wiesenfeld K.* Theory of stochastic resonance // *Phys. Rev.* 1989. Vol. 39A. P. 4854.
6. *Presila C., Marchesoni F., Gammaitoni L.* Theory of stochastic resonance // *Phys. Rev.* 1989. Vol. 40A. P. 2105.
7. *Gammaitoni L., Menichella-Saetta E., Marchesoni F.* // *Phys. Lett. A* 1989. Vol. 142.
8. *Jung P., Hanggi P.* Resonantly driven Brownian motion: basic concepts and exact results // *Phys. Rev. A.* 1990. Vol. 41A. P. 2977.
9. *Zhou T., Moss F.* Analog simulation of stochastic resonance // *Phys. Rev. A.* 1990. Vol. 41, № 8. P. 3161.
10. *Jung P., Hanggi P.* Amplification of small signals via stochastic resonance // *Phys. Rev. A.* 1991. Vol. 44, № 12. P. 8032.
11. *Anischenko V.S., Safonova M.A., Chua L.O.* Stochastic resonance in Chua's circuits // *Int. J. of Bifurcation and Chaos.* 1992. Vol. 2, № 2. P. 397.
12. *Nicolis G., Nicolis C., McKernan D.* Stochastic resonance in chaotic Dynamics // *J. Stat. Phys.* № 70, 1/2. P. 125.
13. *Anischenko V.S., Safonova M.A., Chua L.O.* Stochastic resonance in non-autonomous Chua's circuits // *J. Circuits. Systems and Computers.* 1993. Vol. 3. P. 553.
14. *Anischenko V.S., Neiman A.B., Safonova M.A.* Stochastic resonance in chaotic systems // *J. of Stat. Phys.* 1993. Vol. 70, № 1/2. P. 183.
15. *J. Stat. Phys. Special issue.* 1993. Vol. 70. № 1/2.
16. *Анищенко В.С., Нейман А.Б., Сафонова М.А., Хованов И.А.* Стохастический резонанс при многочастотном воздействии // *РЭ.* 1994. Т. 39, № 8/9. С. 2004.
17. *Jung P.* Periodically driven stochastic systems // *Phys. Rep.* 1994. Vol. 235. P. 175.
18. *Chua's circuit: a paradigm for chaos / Ed by R.N. Madan, Singapore–New Jersey–London–Hong Kong: World Scientific, 1993. 1044 p.*
19. *Dukman M.I., Luchinsky D.G., Mannella R., McCclintock P.V.E. Stein N.D., Stocks N.G.* Stochastic Resonance and its Provenance // *Изв. вузов. ПНД.* 1995. Т. 3, № 3. С. 56.
20. *Анищенко В.С., Хованов И.А., Шульгин Д.Э.* Стохастический резонанс в цепи Чуа при взаимодействии различных типов аттракторов системы // *Изв. вузов. ПНД.* 1995. Т. 3, № 3. С. 91.
21. *Постнов Д.Э.* Стохастический резонанс в автогенераторах с жестким возбуждением // *Изв. вузов. ПНД.* 1995. Т. 3, № 3. С. 100.
22. *Анищенко В.С., Постнов Д.Э., Хованов И.А., Шульгин Б.В.* Использование стохастического резонанса для повышения отношения сигнал/шум в радиотехнических системах // *РЭ.* 1994. Т. 39, № 12. С. 2004.
23. *Давидович М.В.* Бистабильный усилитель на эффекте стохастического резонанса для малых входных отношений сигнал/шум // *РЭ.* 1996. Т. 41, № 11. С. 1332.

24. *Davidovich M.V., Popova N.F.* Noisy signal amplification by nonlinear four-ports under stochastic resonance on microwaves // Proc. of IEEE–Russia Conference 1997 «High Power Microwave Electronics: Measurements, Identification, Applications». Novosibirsk, Sept. 23–25, 1997. P. 1.

25. *Davidovich M.V.* Signal-to-noise ratio improvement in the nonlinear amplifiers with bistable four-ports on microwaves // Proc. of 5-th Int. Workshop on Integrated Nonlinear Microwave and Millimeterwave Circuits. Gerhard–Mercator–University Duisburg, October 2nd, 1998. P. 204.

26. СВЧ–устройства на полупроводниковых диодах. Проектирование и расчет / Под ред. И.В.Мальского и Б.В.Сестрорецкого. М.: Сов. радио, 1969. 580 с.

27. *Никитин Н.Н., Резвиц В.Д.* Методы цифрового моделирования стохастических дифференциальных уравнений и оценка их погрешностей // ЖВМ. 1978. Т. 18, № 1. С. 106.

28. *Хорстхемке В., Лефевр Р.* Индуцированные шумом переходы: Теория и применение в физике, химии, биологии / Пер. с англ. М.: Мир, 1987. 400 с.

29. *Мун Ф.* Хаотические колебания: Вводный курс для научных работников и инженеров / Пер. с англ. М.: Мир, 1990. 312 с.

30. *Эльсгольц Л.Э.* Дифференциальные уравнения и вариационное исчисление. М.: Наука, 1965. 424 с.

31. *Стратонович Р.Л.* Избранные вопросы теории флуктуаций в радиотехнике. М.: Сов. радио, 1961. 560 с.

*Саратовский государственный
технический университет*

*Поступила в редакцию 17.12.97
после переработки 9.12.98*

SIGNAL TO NOISE OUTPUT RATIO IMPROVEMENT IN NONLINEAR AMPLIFIER UNDER THE STOCHASTIC RESONANCE

M.V. Davidovich

The numerical simulations of nonlinear four-ports under the stochastic resonance are resulted and presented. The wide-band amplification of modulated signals with the noise coefficient in the range 1.5 – 2.0 dB has been shown. The possibility of noise coefficient decreasing in the circuit with several branches having non-identical four-ports has been investigated. The block-scheme for extraction the sinusoidal signal from white noise has been introduced and investigated. The signal has the form of separated sinusoidal series with carrying frequency ω_0 . The peculiarities of the scheme are the subharmonic signal $\omega_0/3$ producing which is proportional to the input signal and also the nonlinear signal transformation.



Давидович Михаил Владимирович – родился в феврале 1950 года. Окончил физический факультет Саратовского государственного университета (1972). Защитил диссертацию на соискание ученой степени кандидата физико–математических наук по специальности радиофизика (1991). В настоящее время – доцент и заочный докторант Саратовского государственного технического университета. Член IEEE и председатель IEEE MTT/ED/AP/CPMT Saratov–Penza Chapter. Автор более 70 публикаций. Область научных интересов: электродинамика СВЧ и решение краевых задач, электроника, теория цепей СВЧ.